



第六届强子谱与强子结构会议

arXiv: 2306.16101

在 $B^- \rightarrow D_s^+ K^- \pi^-$ 衰变过程中研究 $T_{c\bar{s}0}(2900)^0$ 和 $D_0^*(2300)$

吕文韬 郑州大学

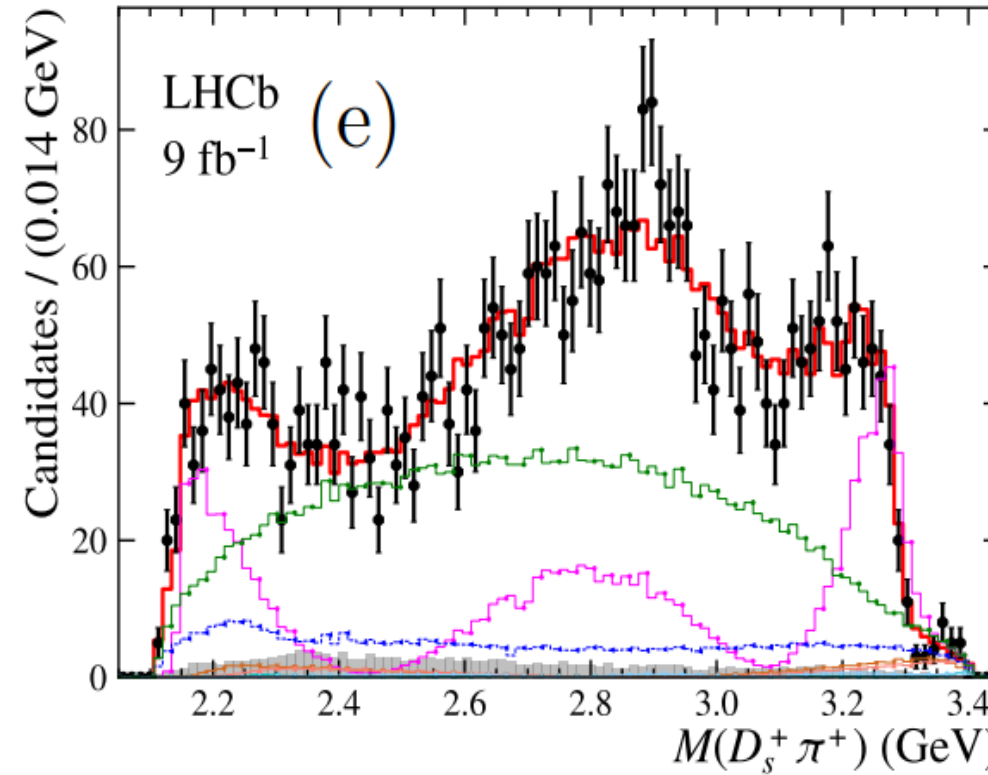
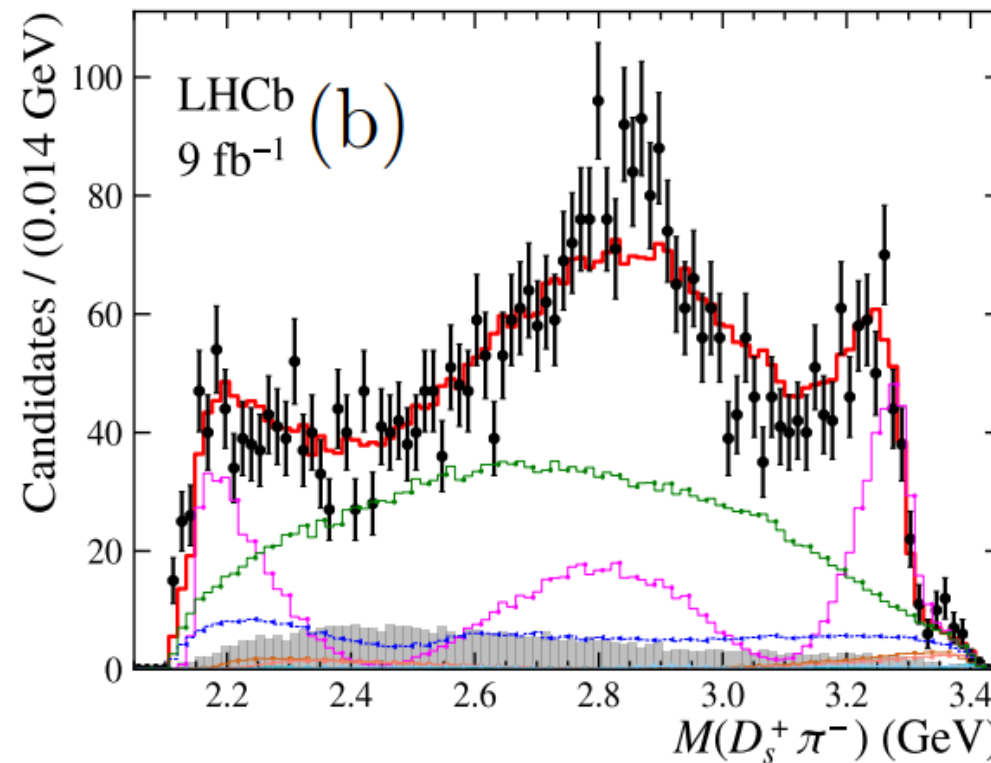
合作者: 吕云鹤, 段漫玉, 李德民, 陈殿勇, 王恩

2023年8月29日

Motivation



- 2022年7月，LHCb合作组在B介子衰变过程中，报告了两个新的开味四夸克态， $T_{c\bar{s}0}(2900)^0[c\bar{s}ud]$ 和 $T_{c\bar{s}0}(2900)^{++}[c\bar{s}u\bar{d}]$



Motivation



- $T_{c\bar{s}0}(2900)^0 [c\bar{s}\bar{u}\bar{d}]$ 和 $T_{c\bar{s}0}(2900)^{++} [c\bar{s}u\bar{d}]$

$$J^P = 0^+$$

$T_{c\bar{s}0}(2900)^0$: $M = 2.892 \pm 0.014 \pm 0.015$ GeV,

$\Gamma = 0.119 \pm 0.026 \pm 0.013$ GeV,

$T_{c\bar{s}0}(2900)^{++}$: $M = 2.921 \pm 0.017 \pm 0.020$ GeV,

$\Gamma = 0.137 \pm 0.032 \pm 0.017$ GeV.

Motivation



四夸克态	$[cq][\bar{s}\bar{q}]$	[PhysRevD 107 (2023) 096020]
强子分子态	$D^* K^*$	[PhysRevD 107 (2023) 9, 094019] [PhysRevD 107 (2023) 3, 034018] [2208.10196]
	$D_s^* \rho$	[J.Phys.G 50 (2023) 5, 055002]
类共振态结构	$D^* K^*$ 阈值效应(三角奇异性)	[EPJC 82, 955]
	$D^* K^*$ 和 $D_s^* \rho$ 的耦合道效应	[PhysRevD 107 (2023) 5, 056015]

Motivation: Process selection



□ $T_{c\bar{s}0}(2900)^0$ 的主要强衰变道为 [PhysRevD.107.034018(2023)]

- $T_{c\bar{s}0}(2900)^0 \rightarrow D_s^+ \pi^-$
- $T_{c\bar{s}0}(2900)^0 \rightarrow D^0 K^0$
- $T_{c\bar{s}0}(2900)^0 \rightarrow D_s^{*+} \rho^-$
- $T_{c\bar{s}0}(2900)^0 \rightarrow D_{s1}^+ \pi^-$
- $T_{c\bar{s}0}(2900)^0 \rightarrow D^{*0} (\Lambda \pi)^0$

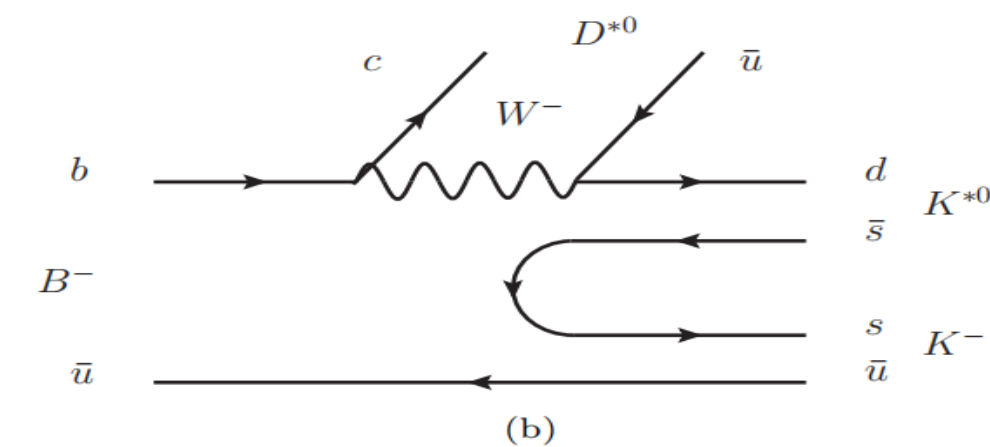
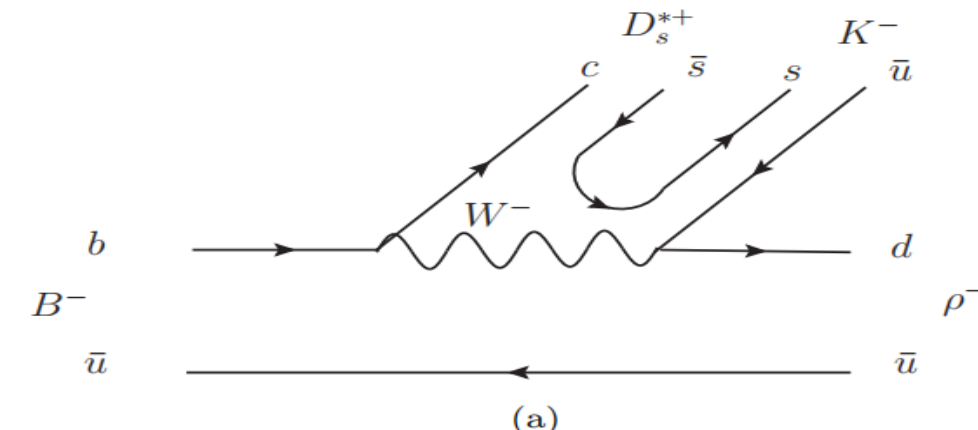
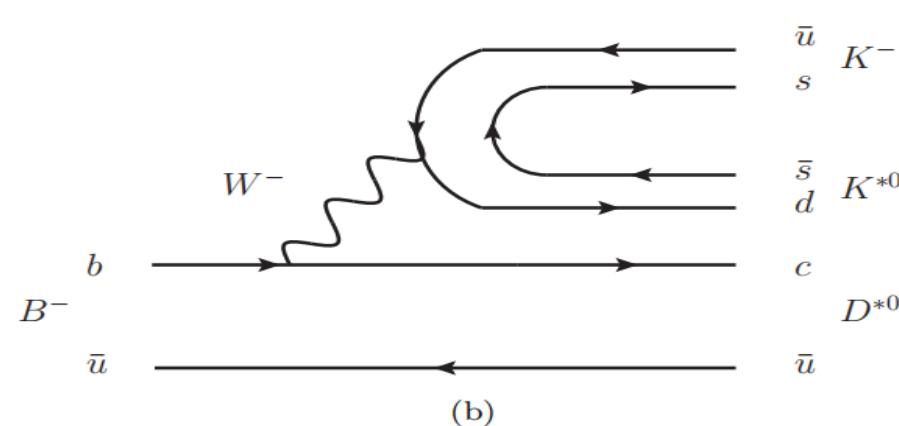
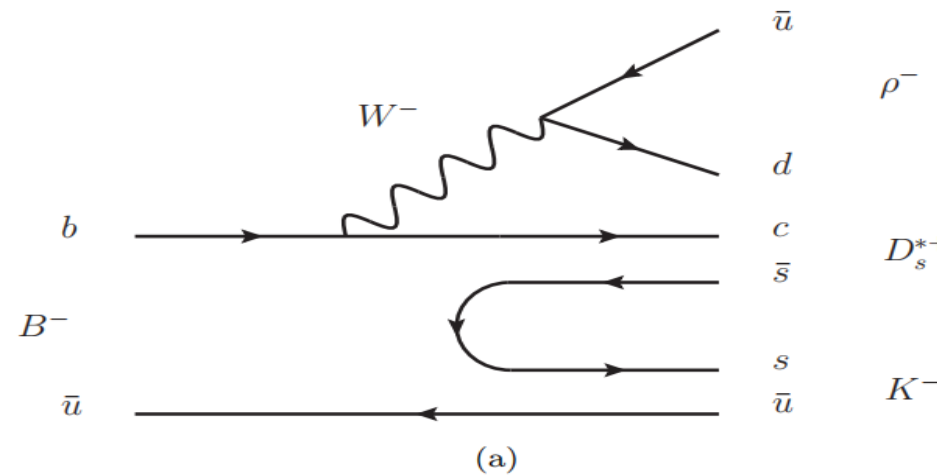
□ 2009年， Belle合作组对 $B^+ \rightarrow D_s^- K^+ \pi^+$ 过程的分支比进行了测量 [PhysRevD 80 (2009) 052005]

$$\mathcal{B}(B^+ \rightarrow D_s^- K^+ \pi^+) = (1.71^{+0.07}_{-0.07}(\text{stat})^{+0.20}_{-0.20}(\text{syst}) \pm 0.15(\mathcal{B}_{int})) \times 10^{-4}$$

The role of $T_{c\bar{s}0}(2900)^0$



□ 强子化过程费曼图

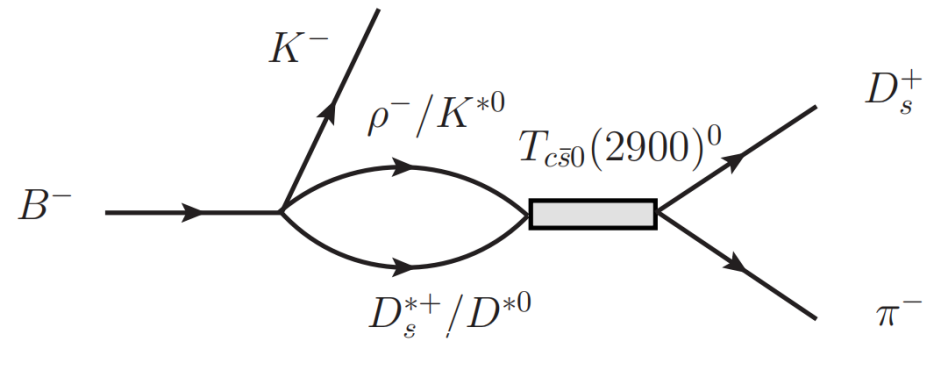


The role of $T_{c\bar{s}0}(2900)^0$



郑州大学
ZHENGZHOU UNIVERSITY

□ 强子层次示意图



□ 衰变振幅形式

$$\begin{aligned}\mathcal{T}_{T_{c\bar{s}0}}^0 &= Q \epsilon(V_1) \cdot \epsilon(V_2) \times (C \\ &+ 1)[G_{\rho^- D_s^{*+}} t_{\rho^- D_s^{*+} \rightarrow D_s^+ \pi^-} \\ &+ G_{D^{*0} K^{*0}} t_{D^{*0} K^{*0} \rightarrow D_s^+ \pi^-}]\end{aligned}$$

$$t_{\rho^- D_s^{*+} \rightarrow D_s^+ \pi^-} = \frac{g_{T_{c\bar{s}0}^0, \rho^- D_s^{*+}} g_{T_{c\bar{s}0}^0, D_s^+ \pi^-}}{M_{T_{c\bar{s}0}^0}^2 - m_{T_{c\bar{s}0}^0}^2 + im_{T_{c\bar{s}0}^0} \Gamma_{T_{c\bar{s}0}^0}}$$

$$t_{D^{*0} K^{*0} \rightarrow D_s^+ \pi^-} = \frac{g_{T_{c\bar{s}0}^0, D^{*0} K^{*0}} g_{T_{c\bar{s}0}^0, D_s^+ \pi^-}}{M_{T_{c\bar{s}0}^0}^2 - m_{T_{c\bar{s}0}^0}^2 + im_{T_{c\bar{s}0}^0} \Gamma_{T_{c\bar{s}0}^0}}$$

The role of $T_{c\bar{s}0}(2900)^0$



□ 假设 $T_{c\bar{s}0}$ 作为 D^*K^* 分子态计算
耦合常数

$$g_{T_{c\bar{s}0}^0, D^*K^*}^2 = 16\pi(m_{D^*} + m_{K^*})^2 \tilde{\lambda}^2 \sqrt{\frac{2\Delta E}{\mu}}$$

$$\Delta E = m_{D^*} + m_{K^*} - m_{T_{c\bar{s}0}^0}$$

$$\mu = m_{D^*}m_{K^*}/(m_{D^*} + m_{K^*})$$

[PhysRev.137.B672(1965)]

[Phys. Lett. B 586, 53-61(2004)]

[PhysRevD.107.054044(2023)]

□ 利用有效拉氏量计算耦合常数

$$\Gamma_{T_{c\bar{s}0}^0 \rightarrow \rho^- D_s^{*+}} = \frac{3}{8\pi} \frac{1}{m_{T_{c\bar{s}0}^0}^2} \left| g_{T_{c\bar{s}0}^0, \rho^- D_s^{*+}} \right|^2 |\vec{q}_\rho|$$

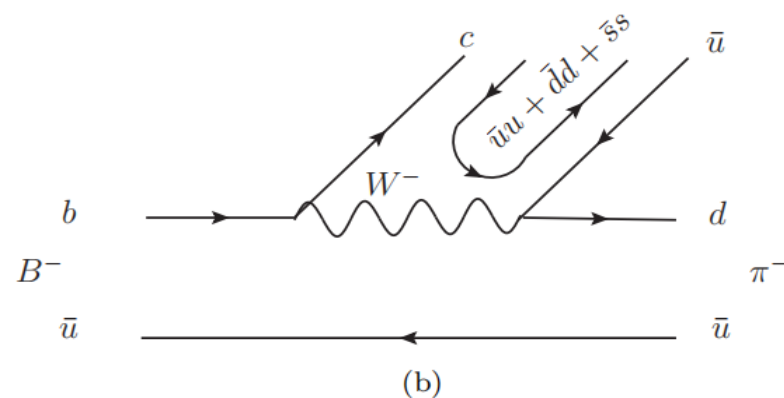
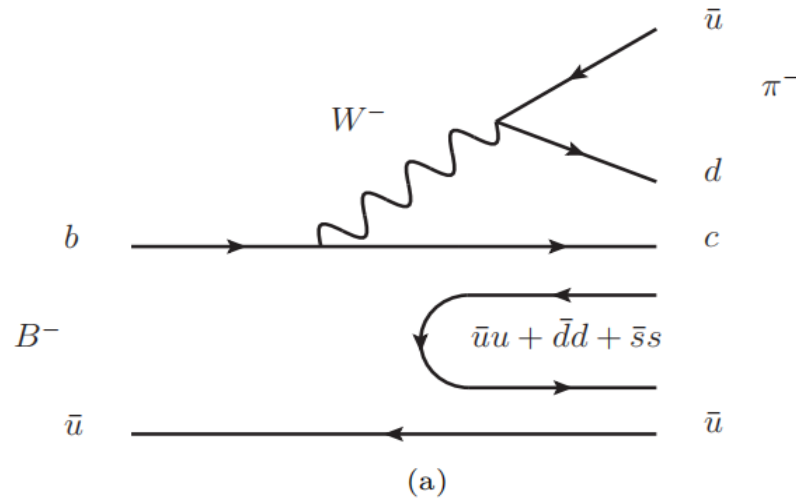
$$\Gamma_{T_{c\bar{s}0}^0 \rightarrow D_s^+ \pi^-} = \frac{1}{8\pi} \frac{1}{m_{T_{c\bar{s}0}^0}^2} \left| g_{T_{c\bar{s}0}^0, D_s^+ \pi^-} \right|^2 |\vec{q}_\pi|$$

Channel	Width (MeV)
$T_{c\bar{s}0}^0 \rightarrow D^0 K^0$	52.6–101.7
$T_{c\bar{s}0}^0 \rightarrow D_s^+ \pi^-$	0.55–8.35
$T_{c\bar{s}0}^0 \rightarrow D_s^{*+} \rho^-$	2.96–5.3
$T_{c\bar{s}0}^0 \rightarrow D_{s1}^+ \pi^-$	6.63–10.29
$T_{c\bar{s}0}^0 \rightarrow D_{s1}'^+ \pi^-$	6.63–10.3
$T_{c\bar{s}0}^0 \rightarrow D^{*0} (K\pi)^0$	16.11–18.96

[PhysRevD.107.034018(2023)]

The role of $D_0^*(2300)$

□ 强子化过程费曼图



□ 强子化后可能的强子对

$$P = \begin{pmatrix} \frac{\pi^0}{\sqrt{2}} + \frac{\eta}{\sqrt{3}} + \frac{\eta'}{\sqrt{6}} & \pi^+ & K^+ & \bar{D}^0 \\ \pi^- & -\frac{\pi^0}{\sqrt{2}} + \frac{\eta}{\sqrt{3}} + \frac{\eta'}{\sqrt{6}} & K^0 & D^- \\ K^- & \bar{K}^0 & -\frac{\eta}{\sqrt{3}} + \frac{2\eta'}{\sqrt{6}} & D_s^- \\ \bar{D}^0 & D^+ & D_s^+ & \eta_c \end{pmatrix}$$

$$\sum_i c(\bar{u}u + \bar{d}d + \bar{s}s)\bar{u} = \sum_i P_{4i}P_{i1} = (P^2)_{41}$$

$$H = \pi^- \left(\frac{1}{\sqrt{2}} D^0 \pi^0 + \frac{1}{\sqrt{3}} D^0 \eta + D^+ \pi^- + D_s^+ K^- \right)$$

The role of $D_0^*(2300)$



□ 基于同位旋多重态($D^+, -D^0$), (\bar{D}^0, D^-), ($-\pi^+, \pi^0, \pi^-$)

$$\begin{aligned} D^0\pi^0 &= -\left|\frac{1}{2}, -\frac{1}{2}\right\rangle|1, 0\rangle \\ &= -\sqrt{\frac{2}{3}}\left|\frac{3}{2}, -\frac{1}{2}\right\rangle + \sqrt{\frac{1}{3}}\left|\frac{1}{2}, -\frac{1}{2}\right\rangle \end{aligned}$$

$$\begin{aligned} D^+\pi^- &= \left|\frac{1}{2}, \frac{1}{2}\right\rangle|1, -1\rangle \\ &= \sqrt{\frac{1}{3}}\left|\frac{3}{2}, -\frac{1}{2}\right\rangle + \sqrt{\frac{2}{3}}\left|\frac{1}{2}, -\frac{1}{2}\right\rangle \end{aligned}$$

$$\begin{aligned} &\frac{1}{\sqrt{2}}D^0\pi^0 + D^+\pi^- \\ &= \left(-\sqrt{\frac{2}{3}} \cdot \sqrt{\frac{1}{2}} + \sqrt{\frac{1}{3}}\right)|D\pi\rangle^{I=\frac{3}{2}} \\ &\quad + \left(\sqrt{\frac{1}{3}} \cdot \sqrt{\frac{1}{2}} + \sqrt{\frac{2}{3}}\right)|D\pi\rangle^{I=\frac{1}{2}} \\ &= \sqrt{\frac{3}{2}}|D\pi\rangle^{I=\frac{1}{2}} \end{aligned}$$

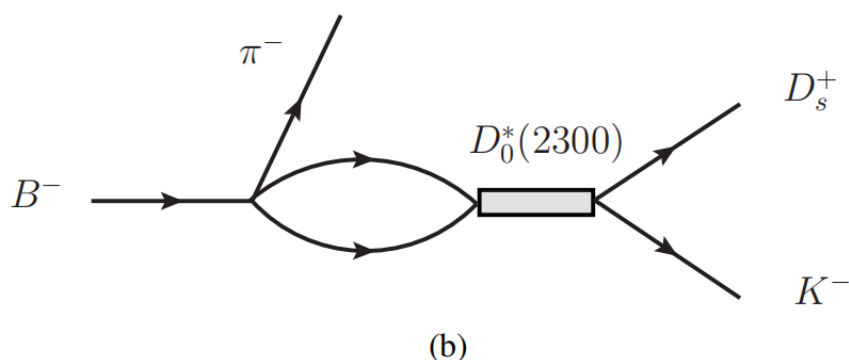
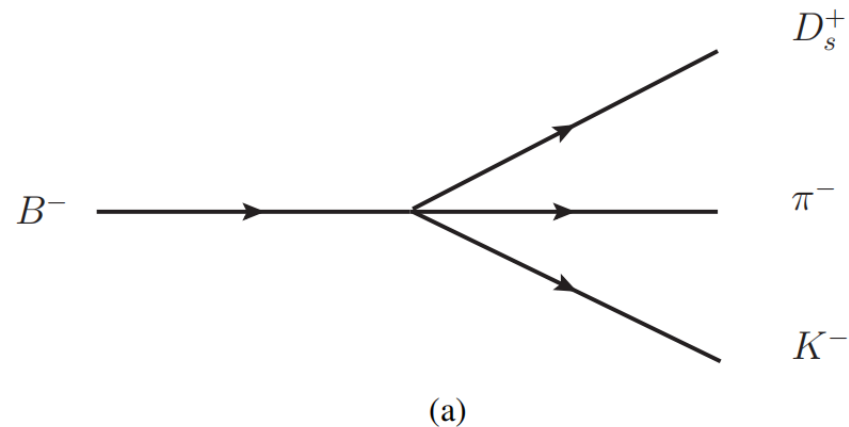
□ 我们可以得到

$$H = \pi^-\left(\sqrt{\frac{3}{2}}D\pi + \frac{1}{\sqrt{3}}D^0\eta + D_s^+K^-\right)$$

The role of $D_0^*(2300)$



□ 强子层次示意图



□ 衰变振幅形式

$$\begin{aligned}\mathcal{T}^{D_0^*(2300)} &= Q' (C + 1) [h_{D_s\bar{K}} + \sum_i h_i G_i t_{i \rightarrow D_s\bar{K}}] \\ &= \mathcal{T}^{\text{tree}} + \mathcal{T}^S\end{aligned}$$

$$h_{D\pi} = \sqrt{\frac{3}{2}}, \quad h_{D\eta} = \sqrt{\frac{1}{3}}, \quad h_{D_s\bar{K}} = 1$$

$$\begin{aligned}\Gamma_{B^-} \times \mathcal{B}(B^- \rightarrow D_s^+ K^- \pi^-) \\ = Q'^2 \int \frac{1}{(2\pi)^3} \frac{(C+1)^2}{4M_{B^-}^2} P_\pi \tilde{P}_K\end{aligned}$$

$$\times \left| (h_{D_s\bar{K}} + \sum_i h_i G_i t_{i \rightarrow D_s\bar{K}}) \right|^2 dM_{\text{inv}}(D_s^+ K^-)$$

Numerical results

□ 利用B-S方程计算散射振幅

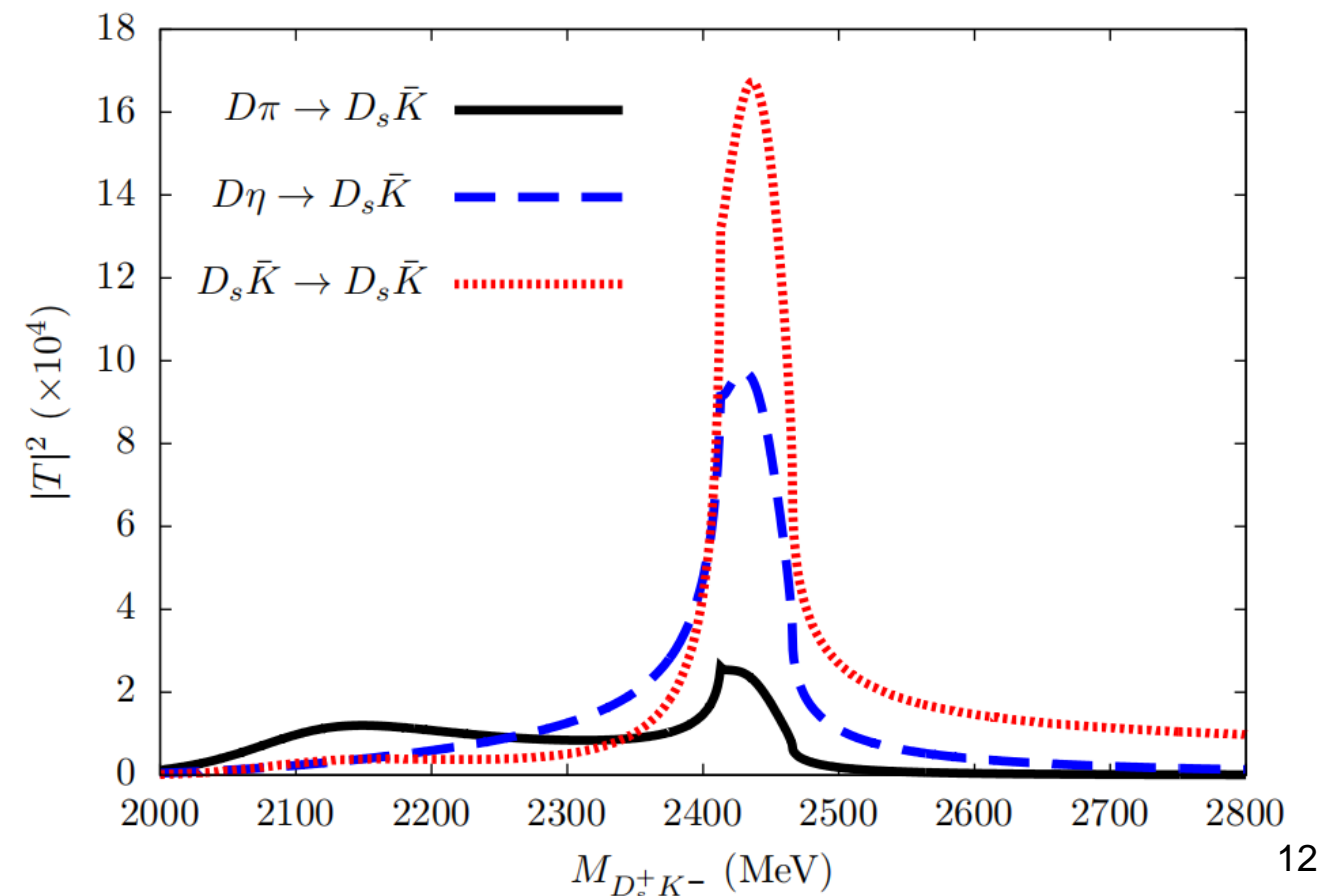
$$T = [1 - VG]^{-1}V$$

$$\begin{aligned} V_{ij} &= \frac{1}{4f_\pi^2} [C_{ij}(s - u)] \\ &= \frac{1}{4f_\pi^2} [C_{ij}(2s - m_2^2 - m_4^2 \\ &\quad - 2E_1 E_3)] \end{aligned}$$

$$C_{ij} = \begin{pmatrix} -2 & 0 & -\sqrt{\frac{3}{2}} \\ 0 & 0 & -\sqrt{\frac{3}{2}} \\ -\sqrt{\frac{3}{2}} & -\sqrt{\frac{3}{2}} & -1 \end{pmatrix}$$

[PhysRevD 87 (2013) 1, 014508]
[PhysRevD 102 (2020) 9, 096020]

□ 散射振幅的模方



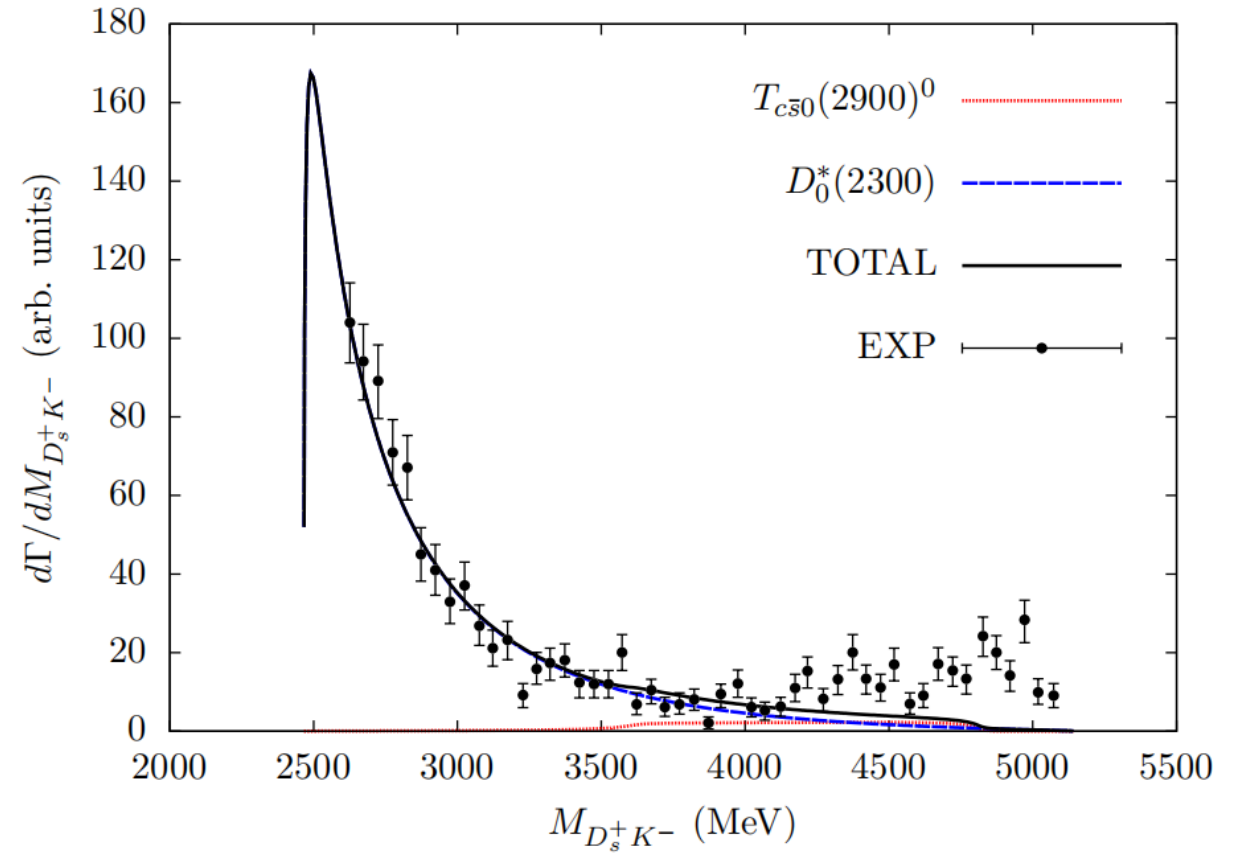
Numerical results

□衰变宽度不变质量分布公式

$$\frac{d^2\Gamma}{dM_{D_s^+K^-} dM_{D_s^+\pi^-}} = \frac{1}{(2\pi)^3} \frac{2M_{D_s^+K^-} 2M_{D_s^+\pi^-}}{32M_B^3} |\mathcal{T}^{\text{total}}|^2$$

$$|\mathcal{T}^{\text{total}}|^2 = |\mathcal{T}^{T_{c\bar{s}0}^0}|^2 + |\mathcal{T}^{D_0^*(2300)}|^2$$

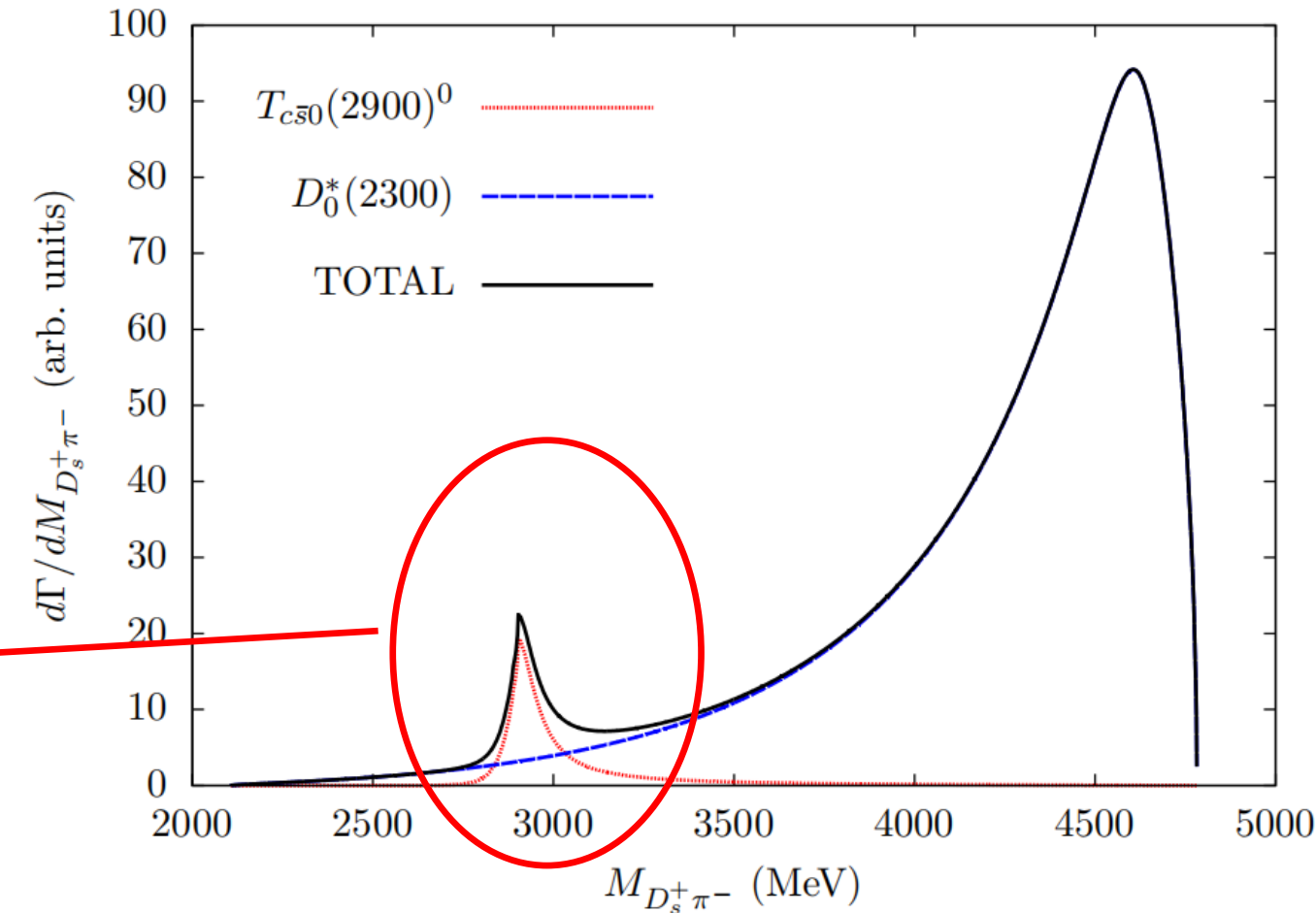
□ $D_s^+ K^-$ 不变质量分布



Numerical results

□ $D_s^+ \pi^-$ 不变质量分布

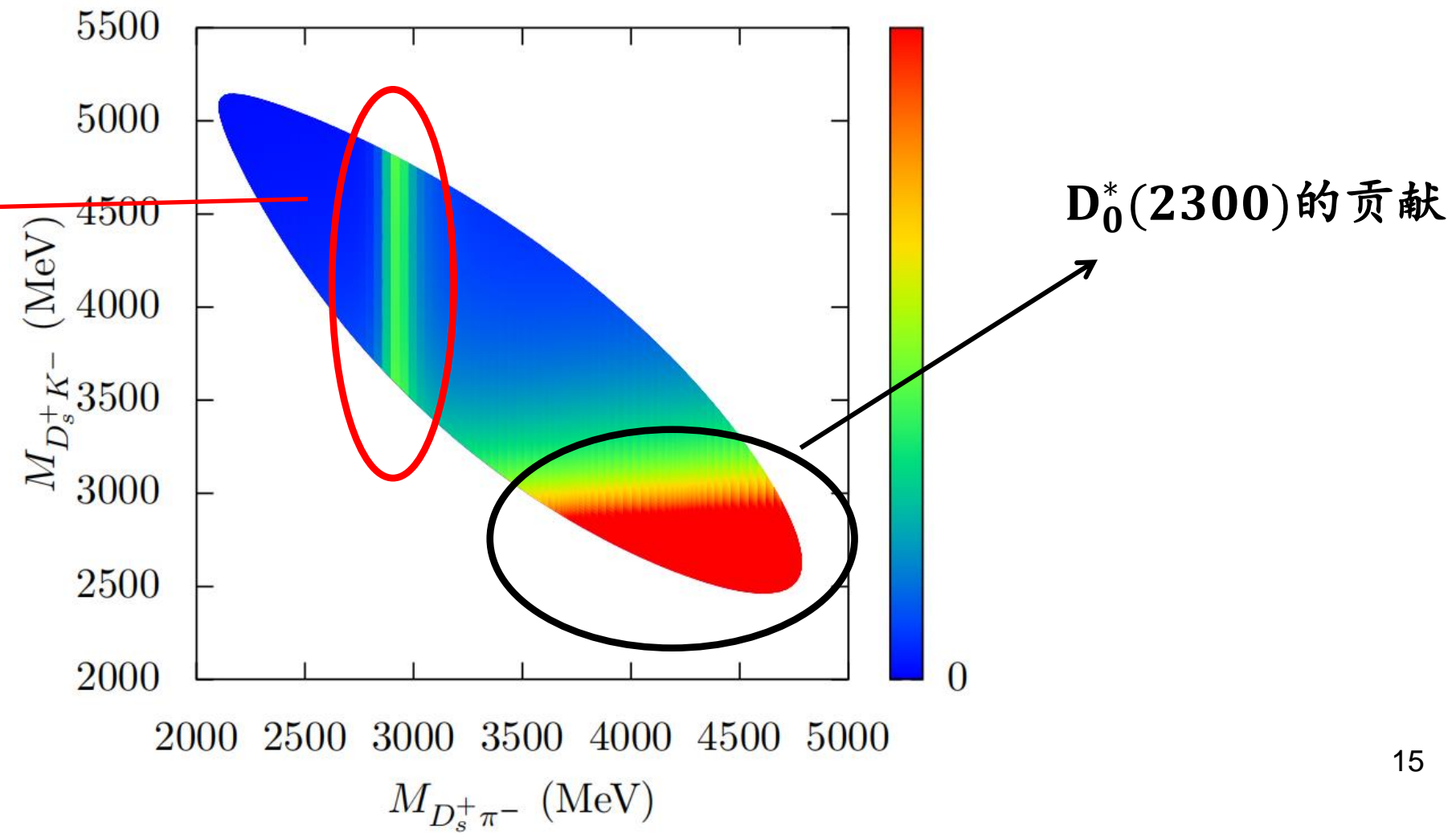
来自于 $T_{c\bar{s}0}(2900)^0$
的peak结构



Numerical results

Dalitz 分布

$T_{c\bar{s}0}(2900)^0$ 的贡献

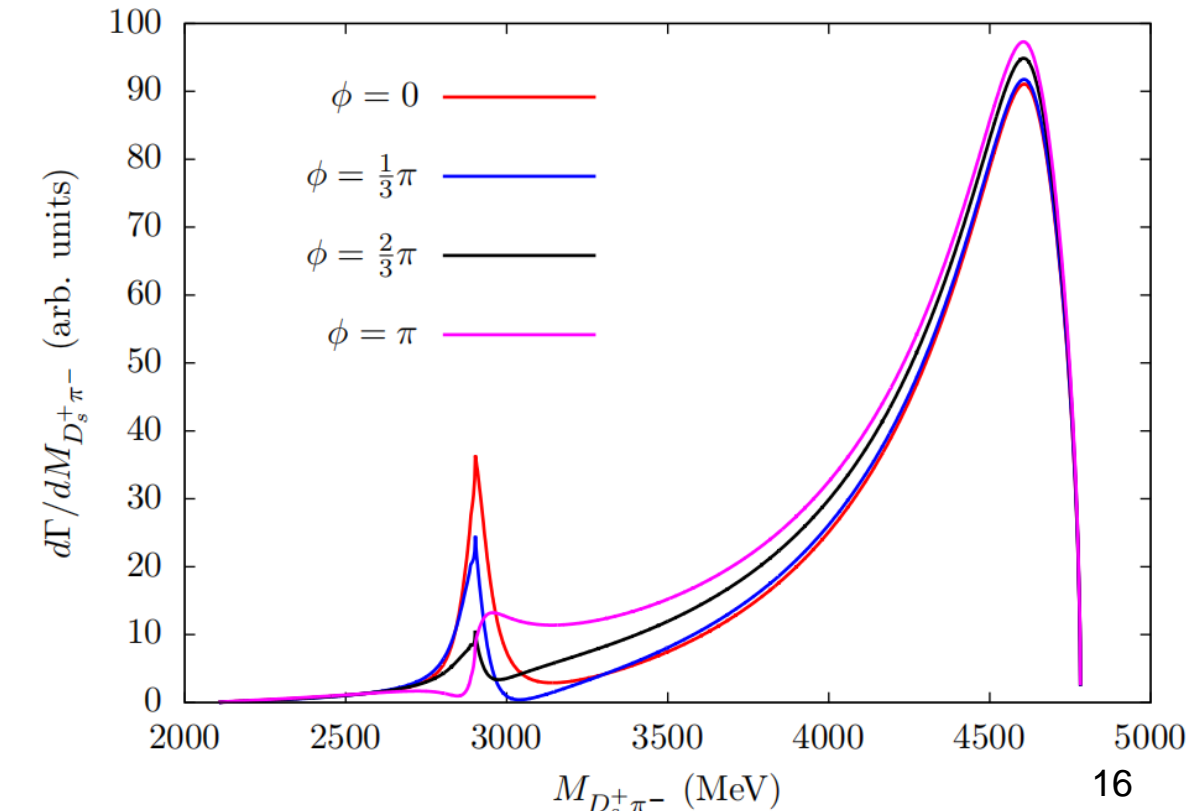
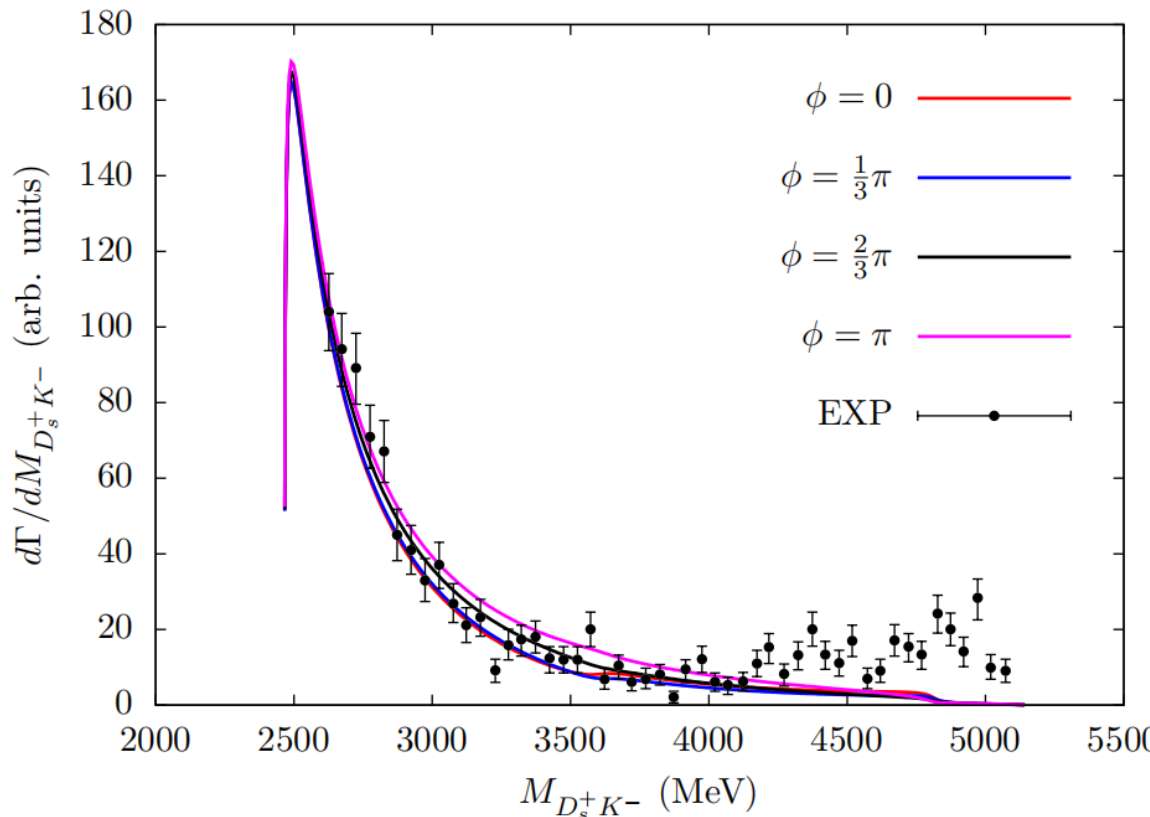


Numerical results



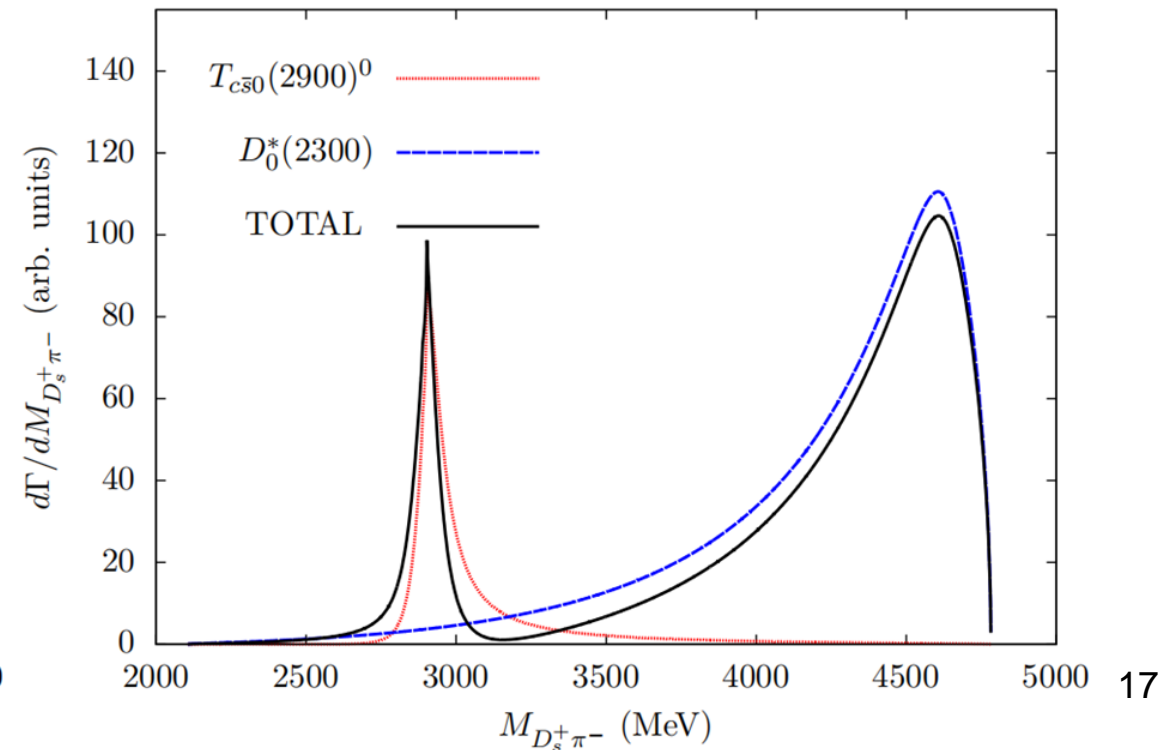
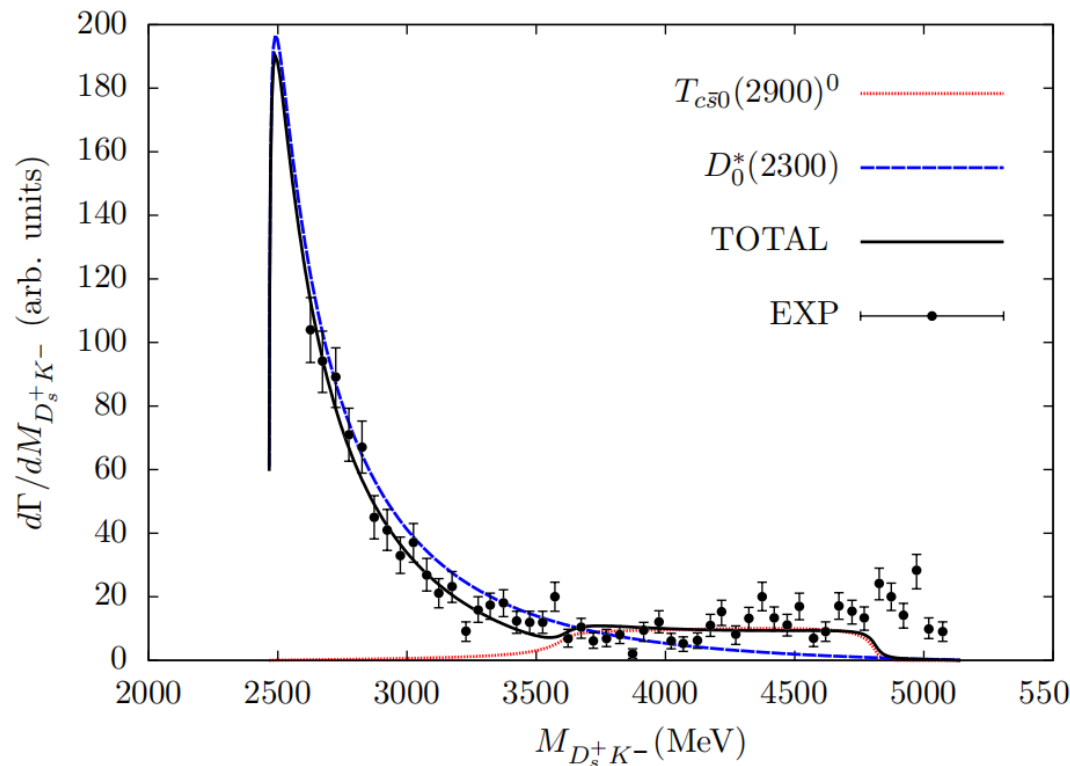
□ 总振幅考虑两部分干涉

$$|\mathcal{T}^{\text{total}}|^2 = \left| \mathcal{T}^{T_{c\bar{s}0}^0} e^{i\phi} + \mathcal{T}^{D_0^*(2300)} \right|^2$$



Numerical results

- $\Gamma_{T_{c\bar{s}0}(2900)^0 \rightarrow D_s^+ \pi^-} = 17 \pm 2 \text{ MeV}, \phi = 0.29\pi \pm 0.09\pi$
- $D_s^+ K^-$ 质量谱的 2600 - 4700 MeV 描述与前面有所改善
- $D_s^+ \pi^-$ 质量谱上 $T_{c\bar{s}0}(2900)^0$ 的结构更加显著



Summary



- 分析了通过S波赝标介子-赝标介子相互作用产生 $D_0^*(2300)$
- 给出了 $D_s^+K^-$ 和 $D_s^+\pi^-$ 的不变质量分布，显示了 $T_{c\bar{s}0}(2900)^0$ 和 $D_0^*(2300)$ 的结构
- 通过对 $D_s^+K^-$ 实验数据的描述，对 $D_s^+\pi^-$ 的不变质量分布进行了预测。

谢谢大家！

请各位老师同学批评指正！